

205 South 600 West Logan, Utah 84323, U.S.A. – Tel. (800) 729-8350 – Tel. (435) 755-9848 – Fax (435) 755-0015 – www.scytek.com Revisione 3, 19/7/2022

## Kit per coloranti di ematossilina ed eosina

### Descrizione e principio

Il kit per coloranti per ematossilina ed eosina è destinato all'uso in applicazioni istologiche e citologie. Incluso in questo kit c'è un'eosina di nuova formulazione che fornisce i benefici di una formula alcolica tradizionale con miglioramenti significativi nell'usabilità. I vantaggi includono un tasso di evaporazione inferiore, migliori modelli di colore, ridotta tendenza a fuoriuscire dal contenitore, dalle mani e dai piani di lavoro e una migliore tensione superficiale per rimanere sulla sezione di tessuto. La nostra ematossilina produce nuclei blu nitidi e intensi che forniscono un contrasto ottimale con il citoplasma colorato con eosina.

I nuclei vengono colorati con una soluzione rapida e progressiva di ematossilina. Il legame nucleare all'ematossilina è facilitato dall'uso dell'alluminio per formare un lago di colorante alluminio-emateina. Il reagente azzurrante viene applicato per convertire il complesso insolubile alluminio-emateina, che è rosso, in una lacca blu insolubile. Il tessuto viene controcolorato utilizzando una soluzione di colorante Eosina Y, con conseguente colorazione differenziale di eritrociti, collagene e muscolo.

### Risultati attesi

Citoplasma:	Rosa chiaro
Collagene:	Rosa
Muscolo:	Rosa/Rosa
Eritrociti:	Rosa/Rosso
Nuclei:	Blu

### Contenuto del kit

1. Ematossilina, di Mayer (modifica di Lillie)
2. Reagente azzurrante
3. Soluzione di eosina Y (alcolico modificato)

### Immagazzinamento

- 18-25°C  
18-25°C  
18-25°C

### Controlli suggeriti (non forniti)

Qualsiasi sezione di tessuto incorporata in paraffina o congelata ben fissata.

Striscio cellulare.

### Usi/Limitazioni

Solo per uso diagnostico in vitro.

Non utilizzare se i reagenti diventano torbidi o precipitano

Non utilizzare la data di scadenza precedente.

Prestare attenzione quando si maneggiano i reagenti.

Non sterile

Destinato a sezioni FFPE tagliate a 5-10µm.

Questa procedura non è stata ottimizzata per le sezioni congelate.

Le sezioni bloccate potrebbero richiedere una modifica del protocollo.

### Immagazzinamento

Conservare il kit e tutti i componenti a temperatura ambiente (18-25°C).

### Sicurezza e precauzioni

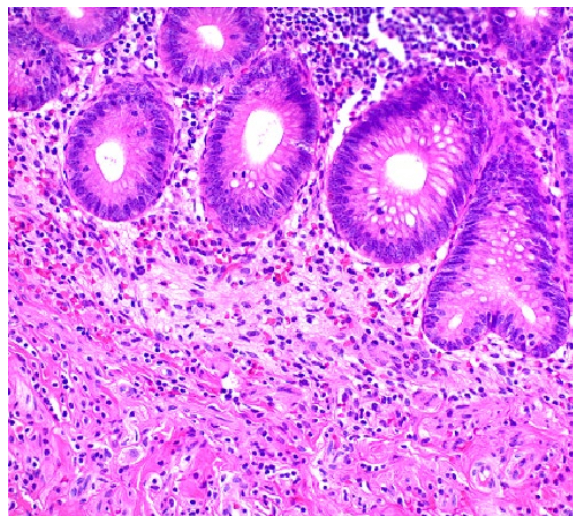
Si prega di consultare le schede di sicurezza (SDS) aggiornate per questo prodotto e componenti Classificazione GHS, pittogrammi e dichiarazioni complete di pericolo/precauzione.

### Procedimento:

1. Deparaffinare le sezioni se necessario e idratarle in acqua distillata.
2. Applicare l'ematossilina, di Mayer (modifica di Lillie) per 5 minuti.

3. Sciacquare il vetrino in 2 cambi di acqua distillata per rimuovere la macchia in eccesso.

4. Applicare il reagente azzurrante per 10-15 secondi.



Human Colon stained with Hematoxylin and Eosin Stain Kit

5. Sciacquare il vetrino in 2 cambi di acqua distillata.
6. Immergere il vetrino nell'alcol assoluto e asciugare l'eccesso.
7. Applicare la soluzione di eosina Y (alcolico modificato) per 2-3 minuti.
8. Risciacquare il vetrino con alcool assoluto.
9. Disidratare il vetrino in 3 cambi di alcol assoluto.
10. Slitta trasparente e supporto in resina sintetica.

### Referenze

1. Shi X, An X, Yang L, Wu Z, Zan D, Li Z, Pang B, Chen Y, Li J, Tan P, Ma RZ. Il deficit di reticolocalbina 3 nell'epitelio alveolare ha attenuato l'ALI indotta da LPS tramite la segnalazione NFκB. *Giornale americano di fisiologia-Fisiologia cellulare e molecolare polmonare*. 24 febbraio 2021.
2. Kim SY, Lee MS, Chang E, Jung S, Ko H, Lee E, Lee S, Kim CT, Kim IH, Kim Y. L'estratto di grano saraceno tartaro ha attenuato l'infiammazione indotta dall'obesità e ha aumentato l'espressione muscolare di PGC-1α/SIRT1 nei ratti obesi indotti da una dieta ricca di grassi. *Nutrienti*. Marzo 2019; 11(3):654.
3. Parco BK, Lee JH, Seo HW, Oh KS, Lee JH, Lee BH. L'icariina protegge dalla mortalità e dai danni indotti dalle radiazioni in vitro e in vivo. *Rivista internazionale di biologia delle radiazioni*. 28 febbraio 2019 (appena accettato): 1-27.
4. Belus MT, Rogers MA, Elzubeir A, Josey M, Rose S, Andreeva V, Yelick PC, Bates EA. Kir2.1 è importante per l'efficiente segnalazione BMP nello sviluppo del volto dei mammiferi. *Biologia dello sviluppo*. 20 marzo 2018.
5. Nicole C. Clark, Cindy A. Pru, Siu-Pok Yee, John P. Lydon, John J. Peluso, James K. Pru. Ablazione condizionale del componente 2 della membrana del recettore del progesterone causa la senescenza riproduttiva prematura femminile, *Endocrinologia*, Volume 158, Numero 3, 1 marzo 2017, pagine 640-651, <https://doi.org/10.1210/en.2016-1701>
6. Kesharwani, Varun, Shyam Sundar Nandi, Surender K. Sharawat, Hamid R. Shahshahan e Paras Kumar Mishra. "L'idrogeno solforato mitiga il rimodellamento

patologico mediato dall'omocisteina inducendo il miR-133a nei cardiomiociti". *Biochimica molecolare e cellulare* 404, n. 1-2 (2015): 241-250.

7. Korytnikov, Roman e Maria Cristina Nostro. "Generazione di linee progenitriche pancreatiche poliormonali e multipotenti da cellule staminali pluripotenti umane". *Metodi* (2015).

8. Y. Amir-Levy, K. Mausner-Fainberg e A. Karni, "Il trattamento con anti-EGF Ab migliora l'encefalomielite autoimmune sperimentale attraverso l'induzione della neurogenesi e dell'oligodendrogenesi", *Multiple Sclerosis International*, vol. 2014, p. e926134, dicembre 2014.

9. P. Zhang, X. Xu, X. Hu, H. Wang, J. Fassett, Y. Huo, Y. Chen e R. J. Bache, "La carenza di DDAH1 attenua la progressione del ciclo cellulare endoteliale e l'angiogenesi", *PLoS ONE*, vol. 8, n. 11, p. e79444, novembre 2013.

10. Kim, H., Seol-Bong, Y., Choe, J.Y., Paik, J.H., Xu, X., Nitta, H., Zhang, W., Grogan, T.M., Lee, C.T., Jheon, S., Chung, J.H. Rilevamento del riarrangiamento del gene ALK nel carcinoma polmonare non a piccole cellule, un confronto tra l'ibridazione in situ a fluorescenza e l'ibridazione cromogenica in situ in correlazione dell'espressione della proteina ALK. *Giornale di oncologia toracica*, volume 6, numero 8, pagine 1359-1366, agosto 2011.

11. Sheenan, D.C., Hrapchak, B.B. *Teoria e pratica dell'istotecnologia*, 2a edizione. CV Mosby, Columbus, OH. Pagine 140-141, 1980.

12. Lillie, R.D., Fullmer, H.M. *Tecnica istopatologica e isochimica pratica*, 4a edizione, McGraw-Hill, NY. Pagine 205-208, 1976.

13. Luna, L.G. *Manuale dei metodi di colorazione istologica dell'Istituto di Patologia delle Forze Armate*, 3a edizione, McGraw-Hill, NY, pagine 34-35, 1968



ScyTek Laboratories, Inc.  
205 South 600 West  
Logan, UT 84321  
435-755-9848  
U.S.A.



Emergo Europe  
Prinsessegracht 20  
2514 AP The Hague, The Netherlands